

図 38 北海道における C F C - 114 及び C F C - 115 の大気中平均濃度の経年変化
 各プロットは各月の測定結果の平均値 (n = 4 ~ 6、 n は 1 プロット当たりの試料数)
 (出典) 環境省 平成 15 年度フロン等オゾン層影響微量ガス監視調査

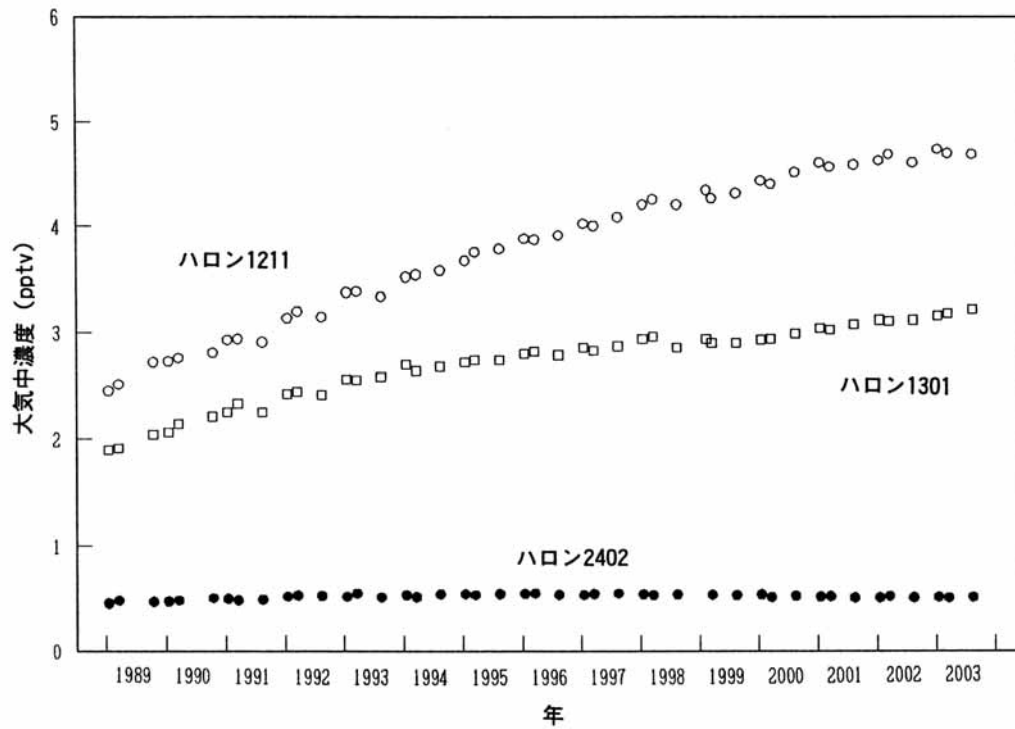


図 39 北海道におけるハロン 1211、ハロン 1301 及びハロン 2402 の大気中平均濃度の経年変化
 各プロットは各月の測定結果の平均値 (n = 4 ~ 6、 n は 1 プロット当たりの試料数)
 (出典) 環境省 平成 15 年度フロン等オゾン層影響微量ガス監視調査

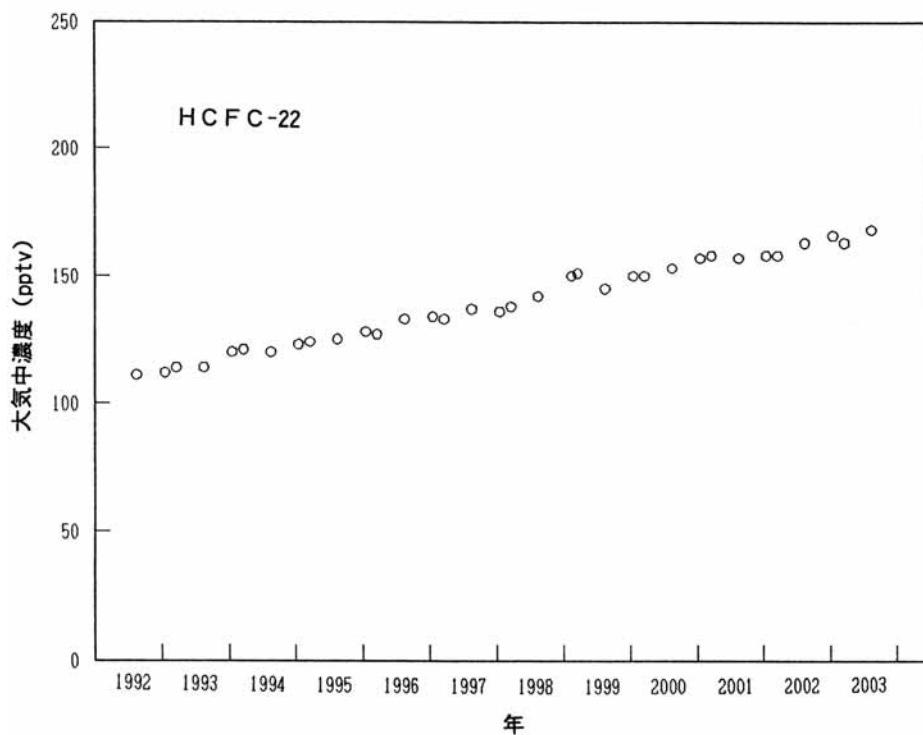


図 40 北海道におけるHCFC-22の大気中平均濃度の経年変化
各プロットは各月の測定結果の平均値 (n = 4 ~ 6、nは1プロット当たりの試料数)
(出典) 環境省 平成 15 年度フロン等オゾン層影響微量ガス監視調査

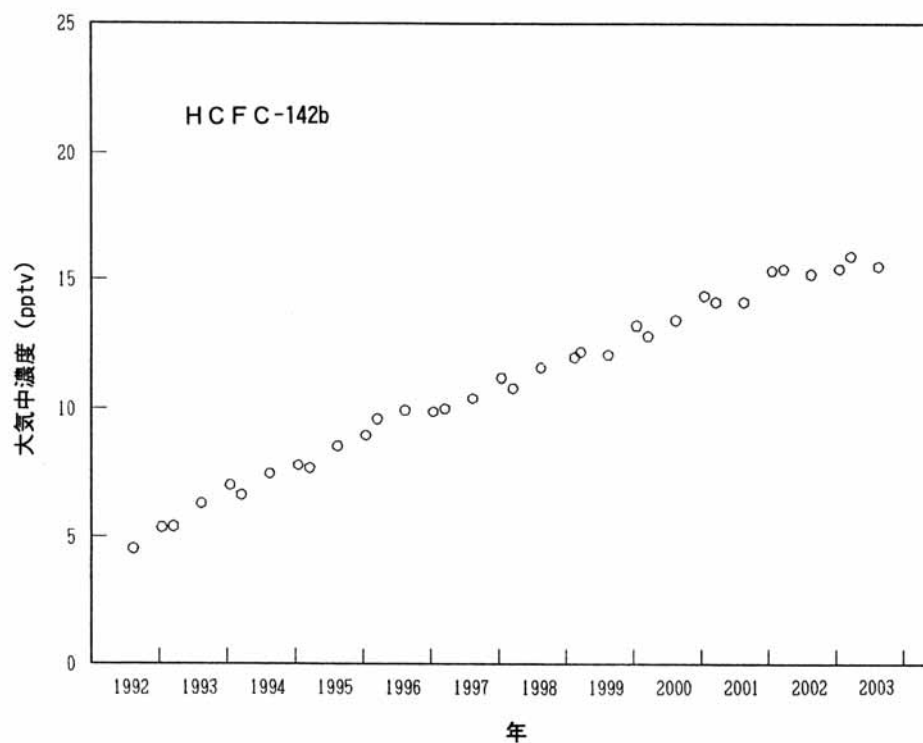


図 41 北海道におけるHCFC-142bの大気中平均濃度の経年変化
各プロットは各月の測定結果の平均値 (n = 3 ~ 6、nは1プロット当たりの試料数)
(出典) 環境省 平成 15 年度フロン等オゾン層影響微量ガス監視調査

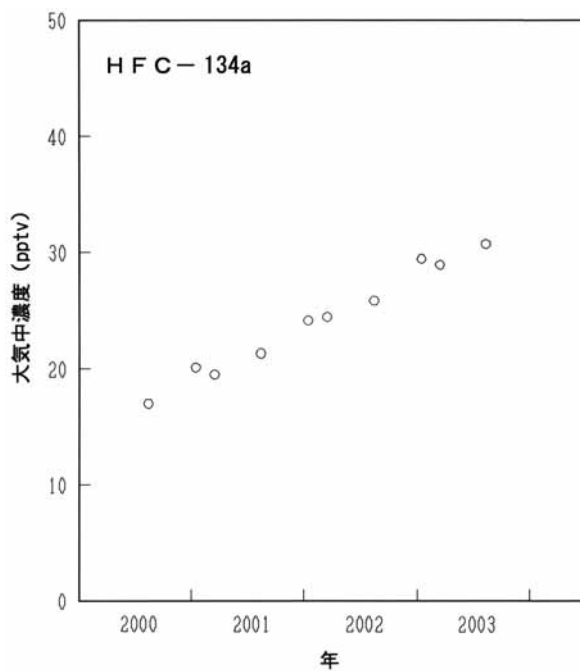


図 42 北海道における H F C - 134a の大気中平均濃度の経年変化
 各プロットは各月の測定結果の平均値 (n = 4 ~ 6、n は 1 プロット当たりの試料数)
 (出典) 環境省 平成 15 年度フロン等オゾン層影響微量ガス監視調査

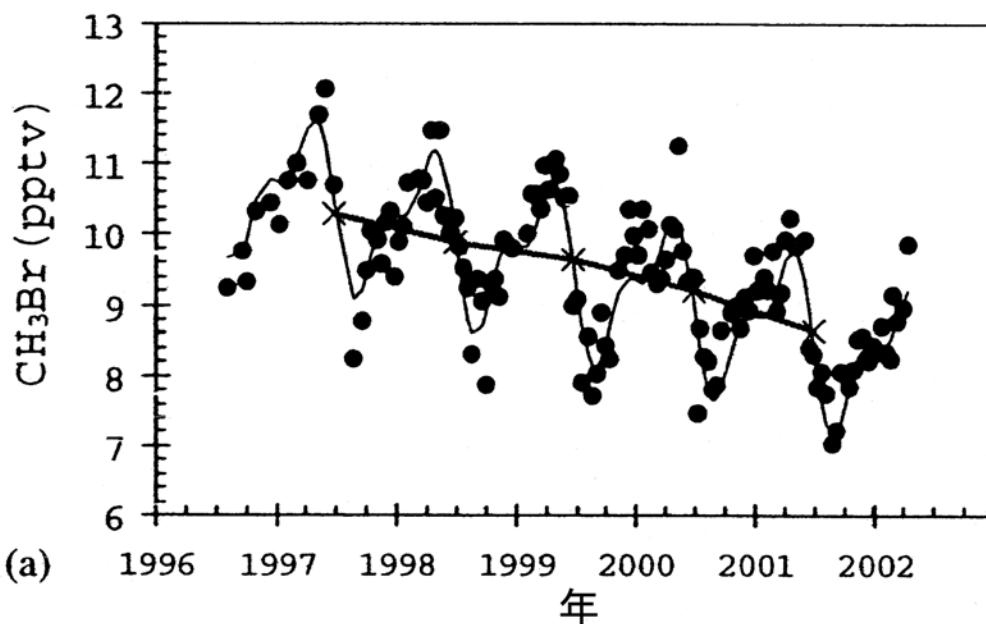


図 43 臭化メチルの大気中濃度
 上図は 1996 年 8 月から 2002 年 4 月までカナダのアラート (北緯 82.5 °) で観測されたデータ。x は年
 平均値。
 (出典) Y.Yokouchi et al. : Atmospheric Environment, Vol.36(2002)